4.4.5 Identificación de $\gamma, \rho \sigma$ y β (caso 3)

Finalmente, los resultados de la identificación de todos los parámetros son presentados en las figuras 4.10-4.13. También aquí, como en los casos anteriores, se percibe un buen desempeño en la estimación de los parámetros del sistema.

Nuevamente, como se dijo en los dos casos de estudio anteriores, debido a que el comportamiento de la estimación del estado es muy similar al presentado en el caso 1, se optó por omitirlas.

El lector seguramente habrá observado un fuerte sobreimpulso en las figuras reportadas, no sólo en las figuras reportadas en este caso de estudio sino también en los dos antriores, particularmente en la dinámica de los estados del sistema (véase figuras 4.2-4.5), aunque el efecto también se percibe en la identificación de los parámetros (el sobre impluso se presenta en el tiempo alrededor de 1 seg.). Este comportamiento se debe a la dinámica propia del sistema caótico. De hecho, el sobreimpluso se presenta aún cuando todos los parámetros del sistema son conocidos.

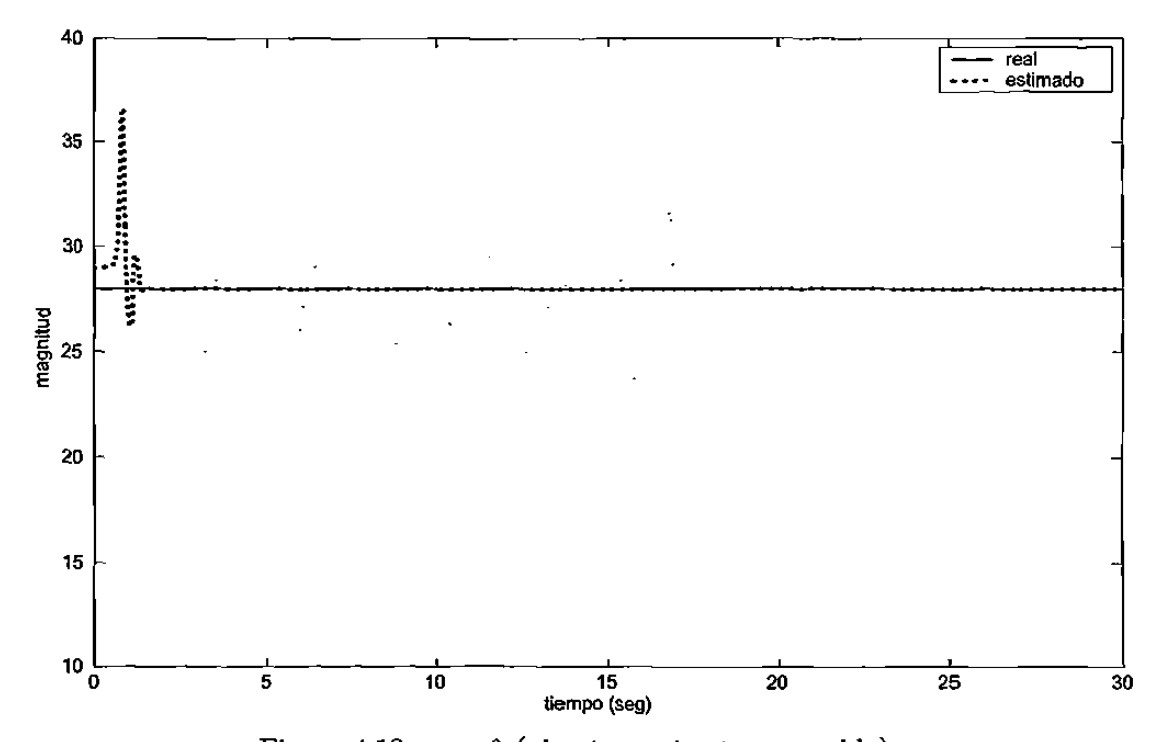


Figura 4.10: γ vs $\hat{\gamma}$ (ningún parámetro conocido)